

پتـرولوژی، سال هفتم، شماره بیست و پنجم، بهار ۱۳۹۵، صفحه ۱۳۹-۱۵۶  
تاریخ پذیرش: ۱۴/۰۷/۱۴ تاریخ دریافت: ۱۴/۰۲/۱۳۹۴

## ژئوشیمی و جایگاه زمین‌ساختی گدازه‌های ترسیری منطقه گارجگان (جنوب‌غرب بیرجند)

آمنه ابوطالبی<sup>\*</sup>، سید سعید محمدی<sup>\*</sup>، محمدحسین زربن‌کوب  
گروه زمین‌شناسی، دانشکده علوم، دانشگاه بیرجند، بیرجند، ایران

### چکیده

منطقه گارجگان در ۶۰ کیلومتری جنوب‌غرب بیرجند و در حاشیه شمال شرقی بلوك لوت قرار دارد. در این منطقه سنگ‌های گدازه‌ای ترسیری به شکل گنبد و با ترکیب داسیت، ریوداسیت، تراکی آندزیت و سنگ‌های آذرآواری توف و برش رخنمون دارند. پویی کلیتیک و ساب‌افیتیک بافت غالب در گدازه‌های منطقه پورفیری با زمینه ریزبلور است. فنوکریسته‌های رایج در سنگ‌های داسیتی و ریوداسیتی، کوارتز، پلاژیوکلاز، هورنبلند و بیوتیت و در تراکی آندزیت‌ها، پلاژیوکلاز، هورنبلند، پیروکسن، بیوتیت و سانیدین هستند. توده‌های کوچکی از الیوین بازالت منسوب به پلیوکواترنری نیز در منطقه مشاهده می‌شوند که الیوین، پیروکسن و پلاژیوکلاز، فنوکریسته‌های عمده آنها را تشکیل می‌دهند. دگرسانی‌های رایج در سنگ‌های گدازه‌ای ترسیری، سیلیسی، آرژیلیک، کربناتی شدن و اپاسیتی شدن هستند. سری ماگماهای این سنگ‌ها کالک‌آلکالن است. نمودارهای بهنجارشده عناصر کمیاب و خاکی نادر گدازه‌های اسیدی و حد واسط نسبت به گوشته اولی و کندریت، گویای ارتباط زایشی نمونه‌ها با یکدیگر و غنی شدگی از LREE نسبت به HREE و هم‌چنین، LILE نسبت به HFSE و Ti و Nb است که شاخص ماغماهای کالک‌آلکالن و است به مناطق فروزانش در یک حاشیه فعال قاره‌ای است. بالابودن مقدار  $\text{SiO}_2$  (میانگین ۶۲/۶۱ درصد وزنی)،  $\text{Al}_2\text{O}_3$  (میانگین ۱۶/۲۹ درصد وزنی)، Sr (میانگین ۸۰/۶ قسمت در میلیون) همراه با پایین‌بودن مقدار Yb (میانگین ۱/۷ قسمت در میلیون) و Y (میانگین ۱۵/۲۷ قسمت در میلیون) و نبودن آنومالی منفی Eu گرایش این مجموعه به سنگ‌های آداسیتی را آشکار می‌کند. این ماغماتیسم می‌تواند خاستگاه گارنت‌امفیبولیتی مرتبط با یک فرایند پس از برخورد داشته باشد.

واژه‌های کلیدی: گنبد داسیتی، آداسیت، پس از برخورد، گارجگان، لوت

### مقدمه

منطقه گارجگان در ۶۰ کیلومتری جنوب‌غرب بیرجند بین طول‌های جغرافیایی "۵۸°۵۲'۰" تا "۳۶°۳۶'۰" شرقی و عرض‌های جغرافیایی "۳۴°۱۷'۰" تا "۳۲°۵۱'۰" شمالی در پهنه ساختاری بلوك لوت قرار دارد (Stocklin, 1968). فعالیت ماغماهای در

\* ssmohammadi@birjand.ac.ir

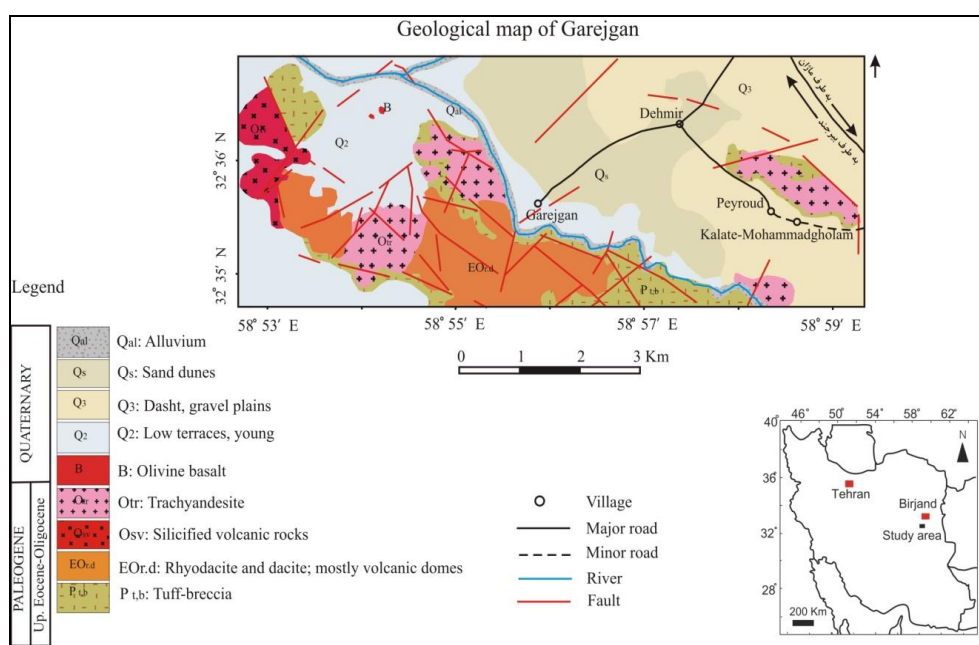
Copyright©2016, University of Isfahan. This is an Open Access article distributed under the terms of the Creative Commons Attribution License (<http://creativecommons.org/licenses/BY-NC-ND/4.0/>), which permits others to download this work and share it with others as long as they credit it, but they cannot change it in any way or use it commercially.

Chiaradia, 2009; Guo *et al.*, 2007; Castillo, 2006 با مشارکت پوسته بالایی و تفریق (Zhu *et al.*, 2009; Castillo, 2006 بازالت‌های دربردارنده آمفيبول در خزینه ماجمایی (Topuz *et al.*, 2011; Fang *et al.*, 2010; Karsli *et al.*, 2010; Topuz *et al.*, 2005 پایینی رهاسده در استنسوفر (Pinto-Linares *et al.*, 2008; Wang *et al.*, 2004; Xu *et al.*, 2002. Zarrinkoub و همکاران (۲۰۱۰) با توجه به بررسی سرگذشت حوضه اقیانوسی در شرق ایران و بسته‌شدن آن در ۸۶ میلیون سال پیش و Pang و همکاران (۲۰۱۳) با ارائه الگوی ژئودینامیکی برای تکامل شرق ایران، ماجماتیسم ائوسن - الیگوسن را در پهنه‌های لوت و سیستان، پس‌برخوردی و علت ماجماتیسم را فرایند Delamination پس از برخورد بیان کرده‌اند. سنگ‌های آتشفشاری منطقه گارجگان به عنوان بخشی از فعالیت‌های ماجمایی ائوسن - الیگوسن تاکنون از لحاظ پترولوزیک مطالعه نشده‌اند. بنابراین، در این پژوهش، ژئوشیمی و پتروژئن آنها بررسی می‌شود.

### زمین‌شناسی منطقه

منطقه گارجگان در محدوده نقشه زمین‌شناسی Vahdati Daneshmand ۱/۱۰۰۰۰ خوف برگرفته از and Kholghi (۱۹۸۸) قرار دارد. بر اساس این نقشه، واحدهای سنگی ترسیری دربردارنده سنگ‌های آذرآواری و گدازه هستند. برای تشخیص واحدهای سنگی این منطقه، ابتدا نقشه زمین‌شناسی با مقیاس ۱:۲۰۰۰۰ با استفاده از تلفیق تصاویر ماهواره‌ای محدوده مورد نظر با داده‌های حاصل از مطالعات سنگ‌شناسی تهیه شد (شکل ۱). گدازه‌ها با شکل‌های گنبدهای روی واحدهای آذرآواری رخنمون دارند. سنگ‌های آتشفشاری منطقه، داسیت، ریوداسیت و تراکی آندزیت هستند که بیشتر، رنگ خاکستری دارند (شکل ۲-A).

بلوک لوت در ژوراسیک میانی (۱۶۵-۱۶۲ میلیون سال) شروع شده است و در ترسیری به اوج خود رسیده است (Karimpour *et al.*, 2011). حاصل ماجماتیسم ائوسن - الیگوسن شرق ایران، سنگ‌های آتشفشاری (گدازه‌ها و آذرآواری‌ها) و نیمه عمیق فراوان است که ناحیه‌های در حدود ۳۰۰ تا ۴۰۰ کیلومتر مربع را پوشش می‌دهد (Pang *et al.*, 2013). در منطقه گارجگان نیز سنگ‌های آتشفشاری عمده‌تاً با ترکیب داسیت، ریوداسیت و تراکی آندزیت به همراه سنگ‌های آذرآواری نظیر توف و برش مشاهده می‌شوند که با فعالیت‌های ماجماتیسم ائوسن - الیگوسن در بلوک لوت در ارتباط هستند (Pang *et al.*, 2013). بررسی‌های پترولوزیک پیرامون ولکانیسم ترسیری در برخی از مناطق جنوب‌غرب بیرجند نشان می‌دهد این سنگ‌ها از نوع کالک‌آلکالن و با ماهیت آدکیتی هستند (Mohammadi *et al.*, 2011; Zarrinkoub *et al.*, 2011) آدکیت یک واژه پترولوزی است که Defant and Drummond (۱۹۹۰) برای نخستین بار آن را برای سنگ‌های آتشفشاری - نفوذی با سیلیس بالا و مقادیر Y و La/Yb بالا در کمان‌های سنوزوییک مرتبط با فرورانش لیتوسفر اقیانوسی جوان با سن کمتر از ۲۵ میلیون سال به کار برند. پوسته اقیانوسی داغ و جوان در مقایسه با پوسته اقیانوسی سرد و قدیمی‌تر بخش بیشتری از گرمای اولی خود را حفظ کرده است و برای ذوب مستعدتر است. در سال‌های اخیر پژوهش‌های گستره‌ای در مورد خاستگاه آدکیت‌ها انجام شده است؛ اما این بررسی‌ها با مجلدات و سردرگمی‌های بسیاری همراه بوده است (Castillo, 2012). ویژگی‌های ژئوشیمیایی آدکیت‌ها منحصر به ذوب حاصل از فرورانش نیست و به طور گستره‌ای منطبق با ذوب بازالت آبدار در فشار بالا است (Defant, 1990 and Drummond, 1990). موارد دیگری نیز برای خاستگاه آدکیت‌ها در نظر گرفته شده است، از جمله شکسته‌شدن پوسته اقیانوسی و بالاً‌مدگی استنسوفر (Jahangiri *et al.*, 2007)، ماجمای مشتق شده از گوشه



شکل ۱- نقشهٔ زمین‌شناسی منطقه گارجگان (جنوب‌غرب بیرجند)، تعیین نام واحدهای سنگی و سن آنها، برگرفته از Vahdati (۱۹۸۸) و Kholghi و Daneshmand ().

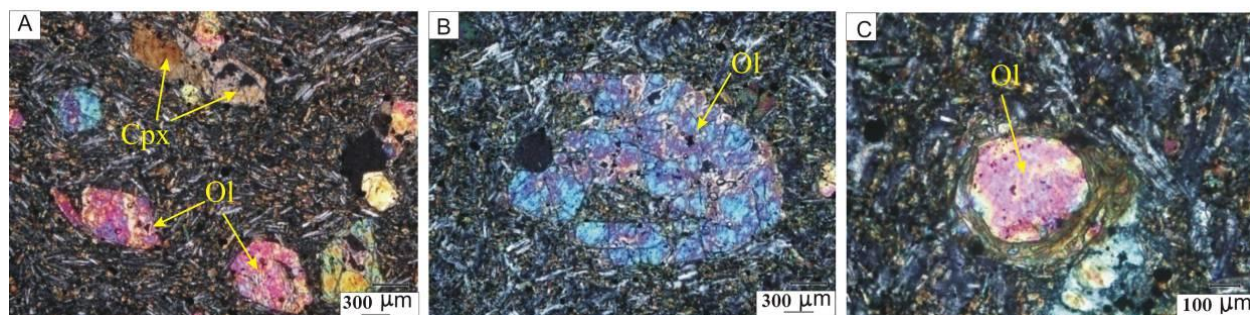
این انکلاوه‌ها اغلب تیره‌رنگ و به صورت بیضوی هستند و با سنگ میزبان مرز ناگهانی دارند (شکل ۲- B). منطقه گارجگان از نظر لرزه‌خیزی نیز فعال است؛ به طوری که عملکرد گسل‌ها موجب دگرگیختی نهشته‌های پلکانی ظهور چشممه‌های گسلی و ایجاد اسکارپ‌های پلکانی شده است (شکل ۲- C). این نشان‌دهندهٔ فعالیت‌های مکرر قطعات گسلی در طول زمان است (Zamani 2009, Babgahri, 2009). در قسمت شمال غربی منطقه و در مجاورت گسل‌ها، سنگ‌های آتشفسانی، سیلیسی شده‌اند (واحد سنگی Osv، شکل ۱).

توده‌های کوچکی از الیوین بازالت منسوب به پلیوکواترنری نیز در شمال غربی گارجگان مشاهده می‌شوند. سنگ‌های آذرآواری، توف و برش هستند. ترکیب گنبدهای منطقه گارجگان از بخش شرقی به طرف غرب تغییر کرده است و از داسیت و ریوداسیت به تراکی آندزیت متمایل می‌شود. یکی از ویژگی‌های بارز گدازه‌های منطقه گارجگان، وجود انکلاوهای تونالیتی است که به صورت پراکنده و در ابعاد حدود ۱ تا ۱۰ سانتی‌متر در این گنبدها یافت می‌شوند.



شکل ۲- تصویرهای صحرایی از منطقه گارجگان (جنوب‌غرب بیرجند): (A) نمای کلی از گنبدهای آتشفسانی (دید عکس به سمت جنوب شرقی)؛ (B) انکلاو تونالیتی درون سنگ‌های داسیتی منطقه گارجگان؛ (C) قطعهٔ گسلی گارجگان که موجب ایجاد اسکارپ پلکانی در مجاورت روستا شده است (دید به سمت شمال).

الیوین و کلینوپیروکسن به صورت درشت‌بلور در زمینه‌ای از میکرولیت‌های پلازیوکلاز، الیوین، پیروکسن و کانی‌های کدر قرار گرفته‌اند. بافت غالب این سنگ‌ها پورفیری با خمیره میکرولیتی و بین دانه‌ای است (شکل A-۳). الیوین به صورت شکل‌دار تا نیمه‌شکل‌دار، ۲۰ تا ۳۰ درصد حجمی سنگ را تشکیل می‌دهد و میانگین اندازهٔ ۰/۵ تا ۱/۳ میلی‌متر دارد. برخی از فنوکریست‌های الیوین، حاشیهٔ خلیجی (شکل ۳-B) و برخی حواشی گردشده دارند و از اطراف به کلریت دگرسان شده‌اند (شکل ۳-C؛ زیرا اتحلال و ناپایداری بلور، بر اثر عواملی نظیر تغییر فشار و دما در طی صعود ماگما و یا تغییر ترکیب شیمیایی آن انجام می‌شود (Chen *et al.*, 2008). پیروکسن به دو صورت درشت‌بلور و ریز‌بلور و اغلب بی‌شکل در این سنگ‌ها مشاهده می‌شود و حدود ۲۰ درصد حجمی سنگ را دربرمی‌گیرد. پلازیوکلاز نیز به صورت میکرولیت در زمینهٔ سنگ وجود دارد و با توجه به زاویهٔ خاموشی، بیش‌تر از نوع لابرادوریت است. کانی‌های کدر از جمله کانی‌های فرعی و کربنات و کلریت، کانی‌های دگرسانی موجود در این سنگ‌ها هستند.



شکل ۳- ویژگی‌های میکروسکوپی الیوین بازالت‌های منطقهٔ گارچگان (جنوب غرب بیرونی؛ A) بافت پورفیری؛ (B) فنوکریست الیوین با حاشیهٔ خلیجی؛ (C) بلور گردشدهٔ الیوین که در حاشیهٔ به کلریت دگرسان شده است. نور در همهٔ شکل‌ها (Cross Polarized Light) XPL و نام اختصاری کانی‌ها برگرفته از Whitney و Evans (۲۰۱۰) است.

موارد بافت‌های ساب‌افیتیک و گلومروپورفیری نیز در آن دیده می‌شود. فراوان‌ترین کانی این سنگ‌ها درشت‌بلورهای پلازیوکلاز هستند که معمولاً شکل‌دار تا

## روش انجام پژوهش

پس از جمع‌آوری اطلاعات موجود از منطقهٔ گارچگان و تعیین مسیرهای پیمایش و نمونه‌برداری، مقاطع نازک تعداد ۹۲ نمونهٔ سنگی بر اساس توزیع مکانی و سنگ‌شناسی، تهیه و بررسی شد. تعداد ۱۰ نمونه با دگرسانی کم برای آنالیز شیمیایی انتخاب و به شرکت ACME کانادا ارسال شد. عناصر اصلی با روش ICP-MS و عناصر کمیاب با روش Draw ترسیم شد.

## پتروگرافی

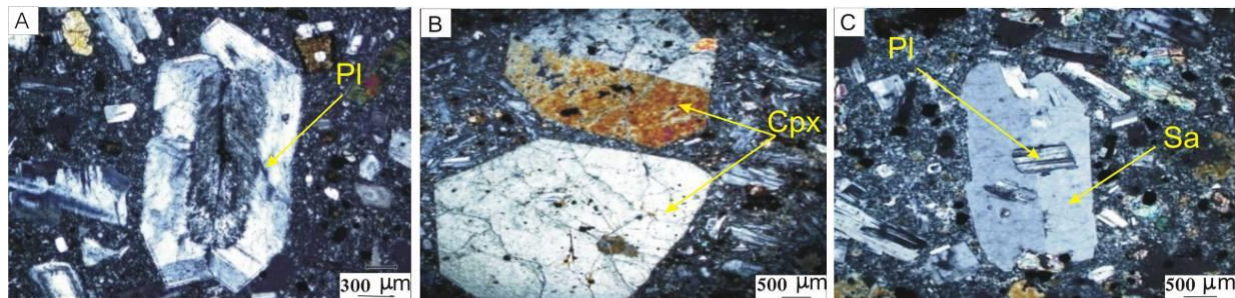
شرح پتروگرافی سنگ‌های مورد مطالعه از انواع بازیک به سمت اسیدی بیان شده است.

**الیوین بازالت:** این سنگ‌ها در نمونهٔ دستی به رنگ سیاه دیده می‌شوند. در مقاطع نازک، فنوکریست‌های

تراکی آندزیت: این سنگ‌ها اغلب به رنگ خاکستری تیره دیده می‌شوند. بافت اصلی سنگ پورفیری با زمینهٔ میکرولیتی، تراکیتی و پویی کلیتیک است و در برخی

سنگ است و حدود ۱۵ تا ۲۰ درصد حجم سنگ را تشکیل می‌دهد (شکل ۴-B). آمفیبول و بیوتیت نیز از جمله کانی‌های فرومینیزین موجود در تراکی‌آنذیت‌های منطقه هستند که اغلب به صورت شکل‌دار و نیمه شکل‌دار، کمتر از ۲۰ درصد از حجم سنگ را دربرگرفته‌اند و در بیشتر موارد حاشیه سوخته و اکسیدشده دارند. سانیدین به صورت فنوکریست‌های شکل‌دار و با ماکل کارلسbad (شکل ۴-C) و میکروولیت به میزان ۱۰ تا ۱۵ درصد حجمی در این سنگ وجود دارد. کانی کوارتز به صورت ریزبلور و عموماً بی‌شکل، کانی فرعی (کمتر از ۵ درصد حجمی) این سنگ است که بیشتر در متن سنگ به همراه میکروولیت‌های پلازیوکلاز، آمفیبول، بیوتیت و سانیدین مشاهده می‌شود. کانی‌های کدر که محصول دگرسانی کانی‌های فرومینیزین هستند نیز در این سنگ‌ها وجود دارند. کربنات‌ها که از دگرسانی پلازیوکلاز و پیروکسن حاصل شده‌اند از مهم‌ترین کانی‌های دگرسانی این سنگ‌ها هستند.

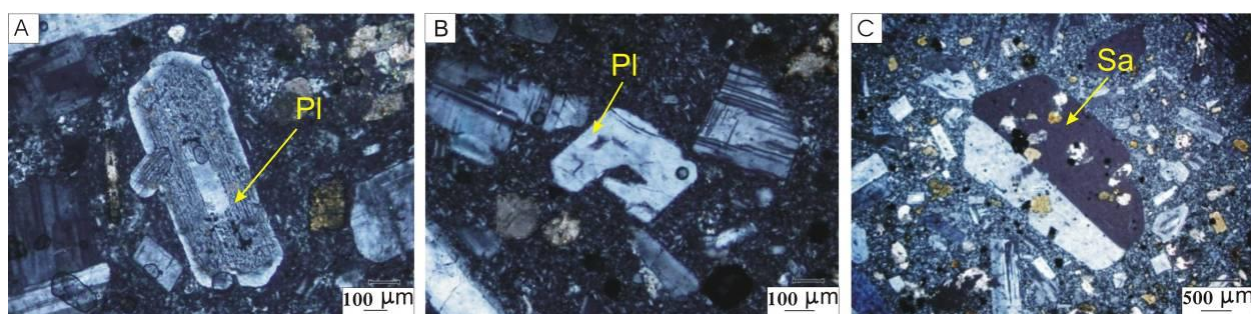
نیمه‌شکل‌دار و به صورت فنوکریست و میکروولیت هستند و حدود ۴۰ تا ۵۰ درصد از حجم سنگ را دربرمی‌گیرند. اندازه پلازیوکلازها به طور میانگین در حدود ۰/۴ تا ۰/۸۵ میلی‌متر است. برخی از بلورهای پلازیوکلاز حالت منطقه‌بندی از خود نشان می‌دهند. ایجاد تغییرات ناگهانی در حرارت، فشار و یا ترکیب Ustunisik *et al.*, (2014; Perugini and Poli, 2012 کانی‌ها بافت غربالی مشاهده می‌شود (شکل ۴-A). برخی از پژوهشگران ظهرور این بافت را به فرایند اختلاط ماقمایی نسبت می‌دهند (Renjith, 2014)، اما برخی دیگر معتقدند که ناپایداری بلورهای پلازیوکلاز در هنگام حرکت سریع ماقمایی به سمت بالا موجب پیدایش Reubi *et al.*, (2002; Kuscu and Floyd, 2001 مطالعه، شواهدی از اختلاط ماقمایی مشاهده نشد. پیروکسن به صورت شکل‌دار تا بی‌شکل و میانگین اندازه ۰/۹ تا ۲/۴ میلی‌متر از لحاظ فراوانی دومین کانی در



شکل ۴- خصوصیات میکروسکوپی تراکی‌آنذیت‌های منطقه گارچگان (جنوب‌غرب بیرجند): (A) بافت غربالی در مرکز بلورهای پلازیوکلاز؛ (B) مگاکریست‌های خودشکل پیروکسن با ماکل کارلسbad؛ (C) فنوکریست سانیدین و تشکیل بافت پویی کلیتیک (نور در همه شکل‌ها XPL است).

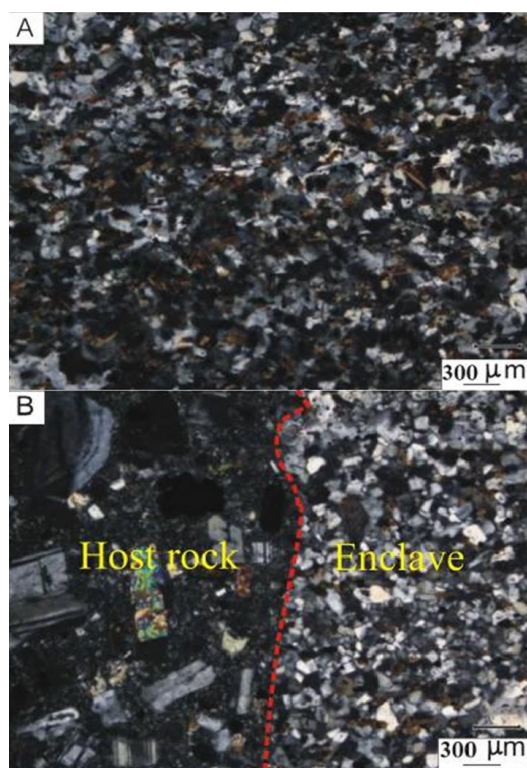
نیمه‌شکل‌دار به صورت فنوکریست و میکروولیت از نوع الیگوکلاز تا آندزین، حدود ۴۰ تا ۵۰ درصد حجمی سنگ را تشکیل می‌دهند. اندازه آنها به طور میانگین در حدود ۰/۴ تا ۳ میلی‌متر است. منطقه‌بندی، بافت غربالی و خوردگی خلیجی از ویژگی‌های بارز فنوکریست‌های پلازیوکلاز در این سنگ‌ها است (شکل‌های ۴-A و ۴-B).

**داسیت:** داسیت‌ها بیشتر به صورت گنبدی رخنمون دارند و در نمونه دستی به رنگ خاکستری روشن تا متواتر دیده می‌شوند. بافت‌های غالب، پورفیری با خمیره ریزدانه و گاهی بافت پویی کلیتیک هستند. کوارتزهای بی‌شکل به صورت ریزبلور بیشتر در متن سنگ وجود دارند و بیش از ۲۰ درصد حجمی سنگ را تشکیل می‌دهند. پلازیوکلازهای خودشکل تا



شکل ۵- خصوصیات میکروسکوپی داسیت‌ها و ریوداسیت‌های منطقه گارجگان (جنوب‌غرب بیرجند)، (A) بافت غربالی در بلورهای پلازیوکلاز؛ (B) بلورهای پلازیوکلاز با حاشیه خوردگی خلیجی؛ (C) ماکل کارلسbad در بلور سانیدین و ایجاد بافت پویی کلیتیک (نور در همه شکل‌ها است).

حدود ۱ سانتی‌متر تا حدود ۱۰ سانتی‌متر در تغییر است. بافت اصلی در این نوع انکلاوهای دانه‌ای است (شکل ۶- A) و مرز ناگهانی با سنگ میزبان دارند (شکل ۶- B). کوارتز، پلازیوکلاز و بیوتیت سازندگان مهم این انکلاوهای هستند.



شکل ۶- خصوصیات میکروسکوپی (نور XPL) انکلاو تونالیتی و سنگ میزبان منطقه گارجگان (جنوب‌غرب بیرجند): (A) بافت گرانولار؛ (B) مرز بین سنگ میزبان (تراکی آندزیت) و انکلاو تونالیتی. است.

این مشخصات در پلازیوکلازها از نشانه‌های وجود شرایط تعادل نداشتن در طول انجامد ماگما است که این شرایط احتمالاً بر اثر صعود سریع ماگما، افزایش فشار بخار آب، فرایندهای آلایش و هضم و کاهش فشار حاکم بر ماگما ایجاد شده است (Monfaredi *et al.*, 2009). آمفیبول و بیوتیت به صورت شکل دار تا نیمه‌شکل دار با چند رنگ شدید قهوه‌ای، حدود ۱۵ تا ۲۰ درصد حجمی سنگ را تشکیل می‌دهند. بلورهای هورنبلند و بیوتیت اغلب حاشیه سوخته دارند؛ به طوری که برخی از بلورها کاملاً سوخته‌اند و فقط قالبی از آنها به جای مانده است. اوپاسیتی شدن نشانه بالابودن فوگاسیتی اکسیژن و فشار بخار آب، هنگام تشکیل این کانی‌ها و از دست رفتن آب مذاب در طول فوران ماگما است (Best, 2003). کربنات‌ها، کانی‌های رسی و سریسیت که از دگرسانی پلازیوکلازها حاصل شده‌ند، کانی‌های دگرسانی رایج در داسیت‌ها هستند. فنوکریست‌های سانیدین، ماکل کارلسbad دارند و حدود ۵ درصد حجمی سنگ را تشکیل می‌دهند (شکل ۵- C). فراوانی بالای فنوکریست‌های سانیدین در برخی نمونه‌ها سبب تمایل ترکیب آنها به ریوداسیت شده است.

**انکلاو تونالیتی:** با بررسی‌های صحرایی و پتروگرافی در سنگ‌های آتشفسانی منطقه گارجگان، انکلاوهایی با ترکیب تونالیتی شناسایی شدند. این انکلاوهای رنگ تیره دارند و ابعاد آن‌ها از

## منطقه گارجگان در گستره ۵۸/۰۵ تا ۶۴/۹۱ درصد

وزنی متغیر است و سنگ‌ها در نمودار مجموع آلکالان در برابر سیلیس  $(\text{Middlemost})$  (۱۹۹۴) در محدوده‌های تراکی آندزیت، تراکی داسیت و داسیت قرار می‌گیرند (شکل ۷-۷).

## ژئوشیمی

نتایج آنالیز عناصر اصلی و کمیاب نمونه‌های مورد مطالعه در جدول ۱ آمده است. از نمونه الیوین بازالت به علت فراوانی اندک، نمونه‌ای آنالیز نشده است. مطابق جدول ۱، محتوای سیلیس در سنگ‌های آتشفسانی

جدول ۱- نتایج حاصل از آنالیز شیمیایی عناصر اصلی (بر حسب درصد وزنی) و عناصر فرعی (بر حسب ppm) سنگ‌های آتشفسانی منطقه گارجگان (جنوب‌غرب بیرجند).

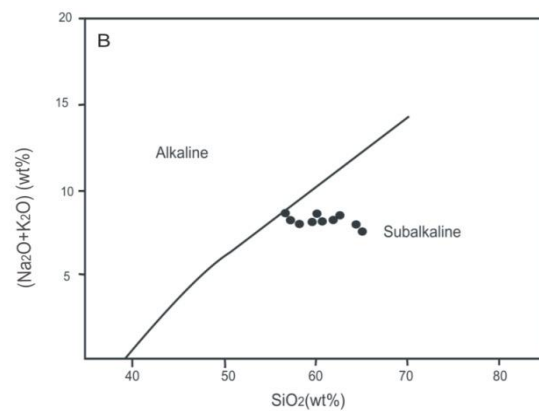
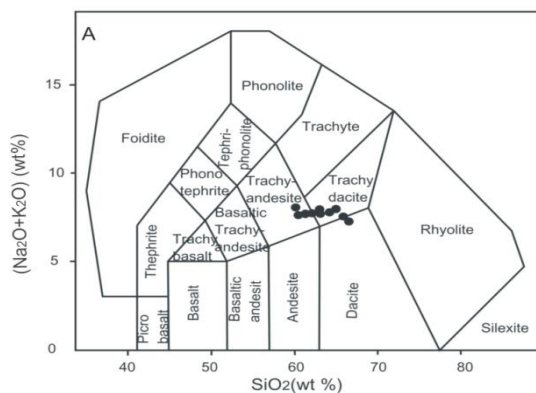
Sample No.	UB51	UB53	UB54	UB56	UB55	UB57	UB48	UB49	UB50	UB52
Rock type	تراکی آندزیت	تراکی آندزیت	تراکی آندزیت	تراکی آندزیت	داسیت	داسیت	تراکی داسیت	تراکی داسیت	تراکی داسیت	تراکی داسیت
$\text{SiO}_2$	60.81	58.05	59.85	59.22	64.62	64.91	62.34	63.52	60.86	62.02
$\text{TiO}_2$	0.48	0.63	0.50	0.49	0.48	0.50	0.50	0.49	0.48	0.47
$\text{Al}_2\text{O}_3$	15.92	16.77	16.16	16.72	16.07	16.62	16.23	16.44	16.21	15.71
$\text{Fe}_2\text{O}_3$	5.41	6.20	5.47	6.04	5.28	4.99	5.45	4.99	4.99	5.15
$\text{MnO}$	0.11	0.08	0.12	0.06	0.04	0.03	0.06	0.04	0.05	0.13
$\text{MgO}$	2.03	1.25	2.04	1.46	0.58	0.51	1.03	0.43	0.96	1.73
$\text{CaO}$	5.43	5.46	5.62	5.61	3.40	2.63	3.88	3.93	5.33	5.48
$\text{Na}_2\text{O}$	3.72	3.73	3.80	3.68	3.41	3.17	3.56	3.76	3.61	3.69
$\text{K}_2\text{O}$	3.87	3.80	3.69	3.77	3.93	3.94	3.98	3.97	3.93	3.90
$\text{P}_2\text{O}_5$	0.26	0.36	0.30	0.33	0.27	0.28	0.28	0.27	0.26	0.26
$\text{Cr}_2\text{O}_3$	0.00	0.00	0.00	0.00	0.00	0.00	0.00	0.00	0.00	0.00
LOI	1.70	3.40	2.20	2.20	1.70	2.20	2.40	1.90	3.10	1.20
Sum	99.74	99.73	99.75	99.58	99.78	99.78	99.71	99.74	99.78	99.74
Mg#	40.5	25	40.2	30	16.1	15.9	25.5	12.5	25.5	37.7
$\text{CaO}+\text{Na}_2\text{O}$	9.15	9.19	9.42	9.29	6.81	5.8	7.44	7.69	8.94	9.17
$\text{K}_2\text{O}/\text{Na}_2\text{O}$	1.04	1.02	0.9710	1.02	1.15	1.24	1.12	1.06	1.09	1.06
Ni	19	19	19	19	19	19	19	19	19	19
Sc	10	14	10	13	9	7	7	7	10	10
Ba	707	827	791	790	710	675	708	715	709	719
Cs	2.4	5.5	4.1	5.6	5.7	7	5.8	5.6	4.3	2.4
Ga	15.8	16.5	15.8	16.7	15.9	16.4	16.6	16.4	15.9	15.9
Hf	2.9	3.6	3.1	3.6	3.2	3.3	2.9	3.3	3.2	3.3
Nb	5.3	6.2	5.5	6.6	5.7	5.9	5.7	5.3	5.9	5.5
Rb	103.9	107.3	98.2	111.6	111.6	109.9	110.7	106	108.2	107
Sr	797.1	902.6	889.7	820.3	762.1	640.5	815.1	816.3	790.8	825.8
Ta	0.5	0.5	0.4	0.5	0.5	0.5	0.4	0.8	0.4	0.4
Th	10.1	8.9	10.7	9.3	11.1	10.9	10.6	10	9.8	10.8
U	2.3	1.5	2.5	2.6	1.6	1.9	1.9	1.9	1.7	2.7
V	134	250	154	151	139	143	137	127	136	130
Zr	109	119.3	114.2	134.9	117.4	116.7	106.9	113.6	110	118.4
Y	15	16.6	17.2	16	15.4	14.6	14.1	13.3	14.2	16.3
La	25.1	25.4	29.2	25.5	27.4	27.1	26.9	25.2	25.2	26.7
Ce	48.4	50.3	53.6	48.9	51.5	51.9	50.6	47.1	46.4	48.6
Pr	5.72	5.86	6.4	5.76	6.05	6.05	5.97	5.63	5.61	5.71
Nd	21.4	24	24.8	22.2	22.6	22.6	22.4	21.1	20.7	21.1
Sm	4	4.56	4.46	4.35	4.15	4.41	4.08	3.69	3.92	4.07
Eu	1.04	1.26	1.13	1.16	1.03	1.14	1.13	1	1.07	1.09
Gd	3.32	3.75	3.66	3.56	3.43	3.48	3.55	3.13	3.31	3.36
Tb	0.52	0.57	0.54	0.53	0.5	0.51	0.5	0.45	0.48	0.5
Dy	2.67	2.74	3.07	2.73	3.13	3.02	3.6	2.49	2.45	2.76
Ho	0.52	0.55	0.6	0.55	0.63	0.56	0.71	0.48	0.46	0.54
Er	1.49	1.52	1.69	1.52	1.72	1.58	2.09	1.37	1.42	1.59
Tm	0.24	0.25	0.26	0.24	0.27	0.26	0.34	0.21	0.22	0.25
Yb	1.65	1.68	1.73	1.59	1.87	1.77	2.17	1.4	1.44	1.71
Lu	0.27	0.26	0.26	0.25	0.3	0.26	0.32	0.2	0.22	0.26
Cr/Ni	0.80	0.79	0.89	0.85	0.77	0.80	0.65	0.95	0.92	0.82
Sr/Y	53.14	54.37	51.73	51.27	49.48	43.87	57.80	61.38	55.69	50.67
$(\text{La/Yb})_N$	10.26	10.19	11.37	10.81	9.88	10.32	8.36	12.13	11.8	10.53
$(\text{Nb/Zr})_N$	0.76	0.81	0.76	0.77	0.76	0.79	0.83	0.73	0.84	0.72
Ta/Yb	0.30	0.29	0.23	0.31	0.26	0.28	0.18	0.57	0.27	0.23
Th/Yb	6.12	5.29	6.18	5.84	5.93	6.15	4.88	7.14	6.80	6.31
Sm/Yb	2.42	2.71	2.57	2.21	2.57	2.49	1.88	2.63	2.72	2.38

است. بر اساس نمودار  $\text{Na}_2\text{O}+\text{K}_2\text{O}$  در برابر  $\text{SiO}_2$  برگفته از Baragar و Irvine (۱۹۷۱)، نمونه ها در محدوده سابآلکالن جای می گیرند (شکل ۷-B). نمونه های مورد مطالعه نسبت به ترکیب گوشته اولی در نمودار چند عنصری McDonough و Sun (۱۹۸۹) به هنجار شده اند (شکل ۸-A).

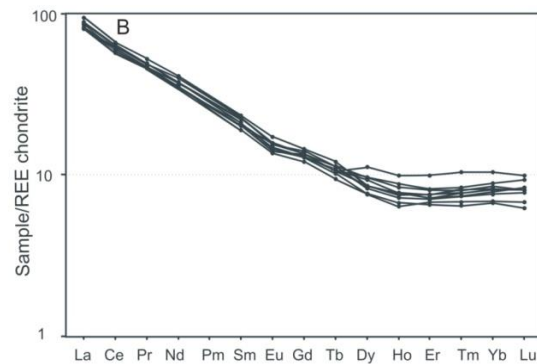
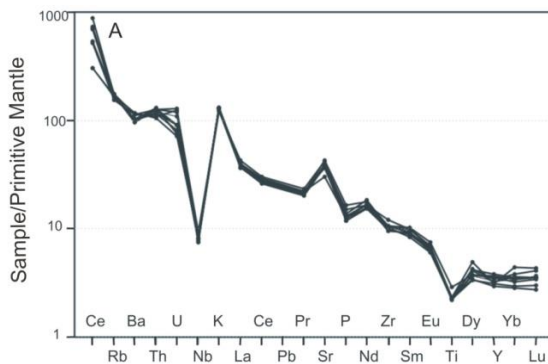
الگوی فراوانی عناصر خاکی نادر (REE) سنگ های آتشفسانی منطقه گارجگان روی نمودارهای عنکبوتی روند موازی با هم را نشان می دهد که نشانه هم خاستگاه بودن آنها است. این نمودار گویای غنی شدگی LREE ها نسبت به HREE و نبود آنومالی منفی Eu است که از ویژگی های آداکیت هاست Castillo, 2012; Ghadami *et al.*, 2008; Richard

(and Kerrich, 2007; Martin *et al.*, 2005

با توجه به این نمودار، عناصر لیتوفیل بزرگ یون (LILE) از قبیل U, K, Ba, Rb, Cs و Sr نسبت به عناصر با شدت میدان بالا (HFSE) از جمله Ti و Nb و همچنین، عناصر خاکی نادر سبک (LREE) نسبت به عناصر خاکی نادر سنگین (HREE)، غنی شدگی را نشان می دهند. برای بررسی عناصر خاکی نادر در نمونه های منطقه گارجگان از نمودار عنکبوتی به هنجار شده با ترکیب کندrit (Boynton ۱۹۸۴) استفاده شد (شکل ۸-B). محتوای اکسیدهای  $\text{Al}_2\text{O}_3$  (B-8). محتوای اکسیدهای  $\text{MgO}$  ۰/۴۳ تا ۰/۲۰ تا ۷۷/۱۶ (درصد وزنی)،  $\text{CaO}+\text{Na}_2\text{O}$  ۵/۸ تا ۹/۴۲ (درصد وزنی) و محتوای عناصر کمیاب Y (۱/۴ تا ۱۴/۱) ppm یا قسمت در میلیون، Yb (۱/۴ تا ۱/۸۷) قسمت در میلیون، و Sr (۶۴۰/۵ تا ۹۰۲/۶) قسمت در میلیون)



شکل ۷- موقعیت ترکیبی سنگ های آتشفسانی منطقه گارجگان (جنوب غرب بیرونی) در نمودارهای مجموع آلکالی ها در برابر سیلیس. (A) برگفته از Baragar و Irvine (۱۹۷۱)؛ (B) Middlemost (۱۹۹۴).



شکل ۸- سنگ های آتشفسانی منطقه گارجگان (جنوب غرب بیرونی) بر روی: (A) نمودار چند عنصری به هنجار شده نسبت به ترکیب گوشته اولی (Boynton, 1984)؛ (B) نمودار چند عنصری عناصر خاکی به هنجار شده نسبت به ترکیب کندrit (Sun and McDonough, 1989).

مطالعه نسبت به کندریت (Boynton, 1984) به هنجار شده‌اند. بر این اساس، گدازه‌های منطقه گارجگان در قلمرو مشترک آداسیت‌ها و سنگ‌های کالک‌آلکالن معمولی قرار گرفته‌اند (شکل ۹-۹). بر اساس بررسی و مطالعه گستردۀ آداسیت‌ها توسط Martin و همکاران (۲۰۰۵)، آداسیت‌ها از نظر ترکیبی به دو گروه آداسیت‌های سیلیس بالا و آداسیت‌های سیلیس پایین تقسیم می‌شوند. آداسیت‌های سیلیس بالا ( $MgO$  پایین) از ذوب مستقیم پوسته زیرین به وجود آمده‌اند و آداسیت‌های سیلیس پایین ( $MgO$  بالا) نشان‌دهنده ذوب گوشته هستند (Castillo, 2012). این دو گروه آداسیت‌ها در مقادیر Nd و نسبت‌های Sr/Y و Cr/Ni تفاوت آشکاری را نشان می‌دهند. آداسیت‌های سیلیس بالا نسبت به سیلیس پایین، تمرکزات کمتر از Nd، LREE و Ti دارند.

در جدول ۳ ویژگی‌های زمین‌شیمیایی سنگ‌های آتشفشاری منطقه گارجگان با سنگ‌های آداسیتی پرسیلیس و کم‌سیلیس مقایسه شده است. نمونه‌های مورد مطالعه از نظر ترکیبی در محدوده آداسیت‌های سیلیس بالا قرار می‌گیرند (شکل ۱۰).

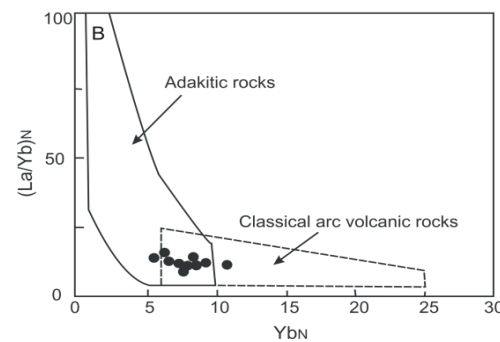
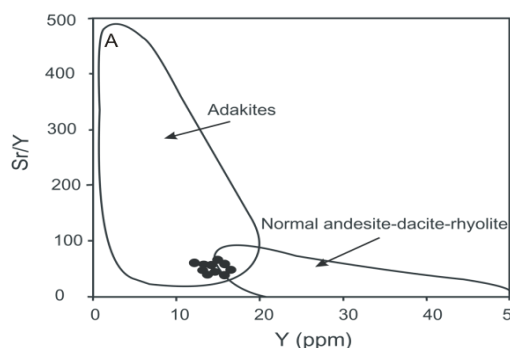
در جدول ۲ ویژگی‌های زمین‌شیمیایی سنگ‌های آتشفشاری منطقه گارجگان با سنگ‌های آداسیتی مقایسه شده است. مقدار میانگین نسبت  $Sr/Y$  در سنگ‌های منطقه گارجگان برابر ۵۲/۹۴ است و در نمودار  $Sr/Y$  در برابر  $Y$  (Defant and Drummond, 1990) در محدوده آداسیت‌ها قرار می‌گیرند (شکل ۹-۹).

جدول ۲ مقایسه میانگین ویژگی‌های زمین‌شیمیایی سنگ‌های آتشفشاری منطقه گارجگان (جنوب‌غرب بیرون) با آداسیت‌ها (Castillo, 2012 ; Moyen, 2009; Castillo, 2006; Rollinson and Tarney, 2005; Martin *et al.*, 2005; Martin, 1999; Defant and Drummond, 1990)

میانگین آداسیت‌ها	میانگین سنگ‌های آتشفشاری گارجگان
62.61 wt%	56 wt% $SiO_2 \geq$
16.29 wt%	$Al_2O_3 \geq 15$ wt%
1.2 wt%	$MgO < 3$ wt%
3.6 wt%	$3.5 \leq Na_2O \leq 7.5$ wt%
1.07	$K_2O/Na_2O \approx 0.42$
806 ppm	$Sr > 400$ ppm
Low HREE	Low HREE
No anomaly of Eu	No anomaly of Eu
1.7 ppm	$Yb \leq 1.8$ ppm
15.27 ppm	$Y \leq 18$ ppm

نمونه‌های مورد مطالعه در نمودار  $(La/Yb)_N$  در برابر  $Yb_N$  (Eyuboglu *et al.*, 2011; Martin, 1999; Defant and Drummond, 1990) نشان داده شده است.

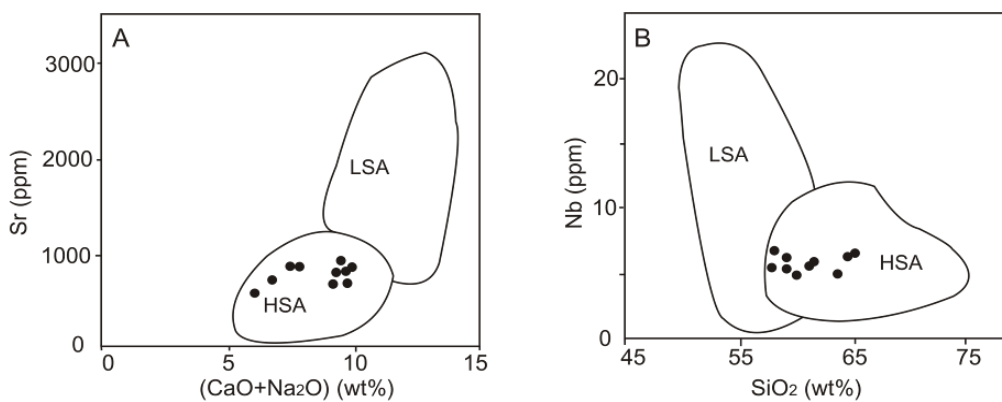
در این نمودار مقادیر La و Yb نمونه‌های مورد



شکل ۹-۹ (A) موقعیت ترکیبی سنگ‌های آتشفشاری منطقه گارجگان (جنوب‌غرب بیرون) در نمودار  $Y/Sr$  در برابر  $Y$  (Eyuboglu *et al.*, 2011; Martin, 1999; Defant and Drummond, 1990) (B) نمودار  $(La/Yb)_N$  در برابر  $Yb_N$  (Drummond, 1990)

جدول ۳- مقایسه میانگین ویژگی‌های زمین‌شیمیایی سنگ‌های آتشفسانی منطقه گارجگان (جنوب‌غرب بیرجند) با سنگ‌های آدکیتی پرسیلیس و کم‌سیلیس (Martin *et al.*, 2005).

میانگین سنگ‌های آتشفسانی گارجگان	میانگین آدکیت‌های کم‌سیلیس	میانگین آدکیت‌های پرسیلیس
$\text{SiO}_2 > 60 \text{ wt\%}$	$\text{SiO}_2 < 60 \text{ wt\%}$	$\text{SiO}_2 > 60 \text{ wt\%}$
$\text{MgO} = 0.5 - 2.4 \text{ wt\%}$	$\text{MgO} = 4 - 9 \text{ wt\%}$	$\text{MgO} = 0.5 - 4 \text{ wt\%}$
$\text{CaO} + \text{Na}_2\text{O} < 9.42 \text{ wt\%}$	$\text{CaO} + \text{Na}_2\text{O} > 10 \text{ wt\%}$	$\text{CaO} + \text{Na}_2\text{O} < 11 \text{ wt\%}$
$\text{TiO}_2 < 0.63 \text{ wt\%}$	$\text{TiO}_2 > 3 \text{ wt\%}$	$\text{TiO}_2 < 0.9 \text{ wt\%}$
$\text{Sr} < \text{ppm} 902.6$	$\text{Sr} > \text{ppm} 1000$	$\text{Sr} < \text{ppm} 1100$



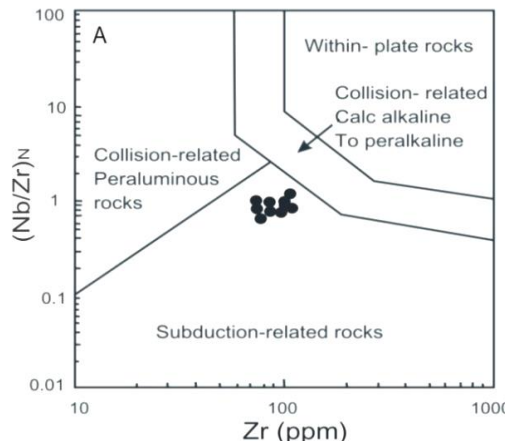
شکل ۱۰- موقعیت ترکیبی سنگ‌های آتشفسانی منطقه گارجگان (جنوب‌غرب بیرجند) در نمودارهای تشخیص آدکیت‌های سیلیس بالا و سیلیس پایین (Martin *et al.*, 2005).

می‌تواند نشان‌دهنده مشارکت پوسته‌ای در فرایندهای ماگمایی باشد (Rollinson, 1993). غنی‌شدن عناصر U و Th در نمودارهای عنکبوتی به اضافه شدن رسوبات پلازیک و پوسته اقیانوسی دگرسان شده به منع ذوب‌شدن نسبت داده می‌شود (Fan *et al.*, 2003). از سوی دیگر، این غنی‌شدن احتمالاً به آلودگی پوسته‌ای و ویژگی‌های خاستگاه نیز مربوط است. بالابودن نسبت LREE/HREE نشان‌دهنده این است که ماغما از یک خاستگاه غنی از گارنت منشأ گرفته است (Wilson, 2007). همچنین، یکی از ویژگی‌های بارز سنگ‌های مناطق فروزانش، غنی‌شدن از LREE در مقایسه با Kuscu and Geneli, 2010; Helvacı *et al.*, 2009; Wilson, 2007; Harangi *et al.*, 2007) است (al., 2009; Wilson, 2007; Harangi *et al.*, 2007). خصوصیات آشکار ماغماتیسم آدکیتی می‌توان به غالبدون مجموعه سنگی ریولیت-دادسیت-آندرزیت، تمرکزهای بسیار بالای LREE، مقادیر بسیار پایین

## بحث

ویژگی‌های شیمیایی سنگ‌های آتشفسانی منطقه گارجگان نظیر غنی‌شدن LILE، LREE و آنومالی منفی Nb و Ti نشان‌دهنده ماغماهای وابسته به فرورانش است (Kuscu and Geneli, 2010; Rollinson, 1993). در مناطق فرورانش به علت تأثیر سیالات ناشی از ورقه فرورانده، نسبت LILE/HFSE افزایش می‌یابد. در واقع این بی‌هنجری‌ها و بالابودن نسبت LILE/HFSE در سنگ‌های آتشفسانی کالک‌آلکالن در نتیجه ورود اجزای LILE موجود در صفحه فرورونده به درون گوئه گوشته‌ای بالای آن به وجود می‌آیند (Mohamed *et al.*, 2000; Zanetti *et al.*, 1999). به علاوه آنومالی مثبت K, Cs, Th و Rb همچنین، آنومالی منفی Ti و Nb در محیط‌های حاشیه قاره‌ای دیده می‌شوند (Wilson, 2007). فعال قاره‌ای بی‌هنجری منفی Nb شاخص سنگ‌های قاره‌ای است و

McDonough, 1989) به هنجار شده است، گویای وابستگی آنها به محیط فرورانش است (شکل ۱۱- A). برای تشخیص این که سنگ‌های آتشفسانی منطقه گارجگان در محیط قوس جزیره اقیانوسی فوران کرده‌اند Th/Yb یا در جایگاه تکتونیکی حاشیه قاره‌ای، از نمودار Pearce (1983) آن را ارائه کرده در برابر Ta/Yb که Pearce (1983) آن را ارائه کرده است، استفاده شد. با توجه به این نمودار (شکل ۱۱- B) که بر پایه عناصر کمیاب غیر متحرک بنا شده است، مشخص شد که این سنگ‌ها به حاشیه قاره‌ای فعال، متعلق هستند و مagma مادر آنها بر اثر ذوب‌بخشی یک گوشه‌غذی شده حاصل شده است. magma‌های کمان بیشتر بر اثر ذوب‌بخشی در گوشه‌غذی در گوشه‌غذی در فرورانش به علت اضافه شدن اجزای متاسوماتیک آزاد شده از لیتوسفر اقیانوسی فرورونده به وجود می‌آیند. شاره‌های متاسوماتیک ممکن است شامل سیال آبدار یا مذاب‌های بخشی اولی حاصل از رسوبات و یا پوسته بازالتی فرورانده شده به گوشه‌غذی باشد و سبب تولید magma شود (Hoang et al., 2011; Harangi et al., 2007).

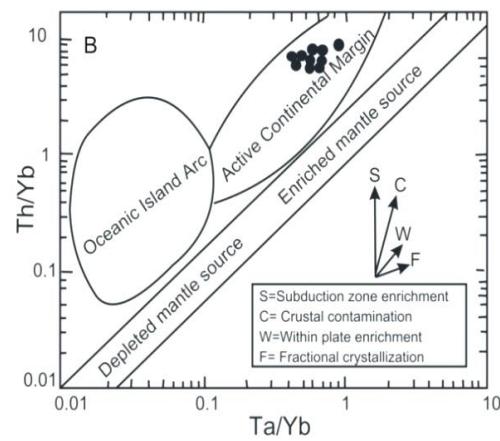


شکل ۱۱- موقعیت ترکیبی سنگ‌های آتشفسانی منطقه گارجگان (جنوب‌غرب بیرون‌جند) در (A) نمودار Zr در برابر  $\text{Nb}/\text{Zr}$  (Pearce, 1983) و (B) نمودار  $\text{Th}/\text{Yb}$  در برابر  $\text{Ta}/\text{Yb}$  (Ivanova, 2005).

ذوب‌بخشی پوسته ضخیم شده و آداکیت‌های حاصل از بخشی منابع متابازالتی و اکلوژیتی قرار می‌گیرند (شکل ۱۲). به نظر بیشتر سنگ‌شناسان، آداکیت‌های الگو

La/Yb و Y و HREE اشاره کرد (Ling et al., 2011; Ghasemi et al., 2010; Liu et al., 2010; Ling et al., 2009; Hou et al., 2007) بالابودن مقدار  $\text{SiO}_2$  (میانگین ۶۲/۶۱ درصد وزنی)،  $\text{Al}_2\text{O}_3$  (میانگین ۲۹/۱۶ درصد وزنی) و Sr (میانگین ۰۳/۸۰ قسمت در میلیون) همراه با پایین‌بودن مقدار Yb (میانگین ۷/۱ قسمت در میلیون) و Y (میانگین ۲۷/۱۵ قسمت در میلیون) و نبودن آنومالی منفی Eu، گرایش این مجموعه به سنگ‌های آداکیتی را آشکار می‌کند (Castillo, 2012; Ghadami et al., 2008; Richard and Kerrich, 2007; Martin et al., 2005) مقدار نسبت‌های Y در دامنه ۴۳/۸۷ تا ۳۸/۶۱ و La/Yb در دامنه ۱۲/۴ تا ۱۸ در تغییر است و نشانه این است که سنگ‌های مورد مطالعه ماهیت آداکیتی دارند Castillo, 2012; Richards and Kerrich., 2007; (Castillo, 2006; Martin et al., 2005).

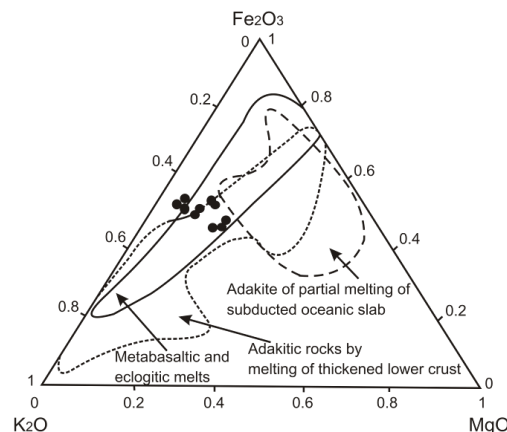
Ivanova در برابر Zr (Nb/Zr)<sub>N</sub> برگرفته از نمودار Zr در برابر  $\text{Nb}/\text{Zr}$  (۲۰۰۵) که در آن محتوای Zr و نمونه‌ها نسبت به مقادیر Zr و Nb در ترکیب گوشه‌غذی اولی



در نمودارهایی که بر پایه مقدار Mg# در برابر  $\text{SiO}_2$  طراحی شده‌اند (Wang et al., 2006)، نمونه‌ها در محدوده مشترک آداکیت‌های حاصل از

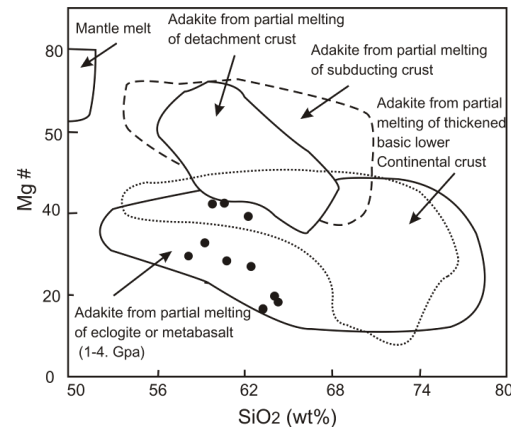
در نمودارهایی که بر پایه مقدار Mg# در برابر  $\text{SiO}_2$  طراحی شده‌اند (Wang et al., 2006)، نمونه‌ها در محدوده مشترک آداکیت‌های حاصل از

اساس اکسید عناصر اصلی در تعیین خاستگاه آدکیت‌ها به کار می‌رود، نمونه‌های مورد مطالعه در محدوده مشترک آدکیت‌های حاصل از ذوب‌بخشی پوسته زیرین ضخیم شده و آدکیت‌های حاصل از ذوب‌بخشی منابع متابال‌التی و اکلوژیتی قرار گرفته‌اند (شکل ۱۳). بنابراین می‌توان گفت که ذوب‌بخشی قاره‌ای زیرین ضخیم شده در تکامل سنگ‌های منطقه گارجگان نقش به‌سزایی داشته است. در نمودار  $\text{Sm}/\text{Yb}$  در برابر  $\text{Th}/\text{Nb}$  از Karsli و همکاران (۲۰۱۱)، نمونه‌های منطقه گارجگان از ذوب‌بخشی منبعی با ترکیب ۱۰ درصد گارنت آمفیبولیت حاصل شده‌اند (شکل ۱۴).

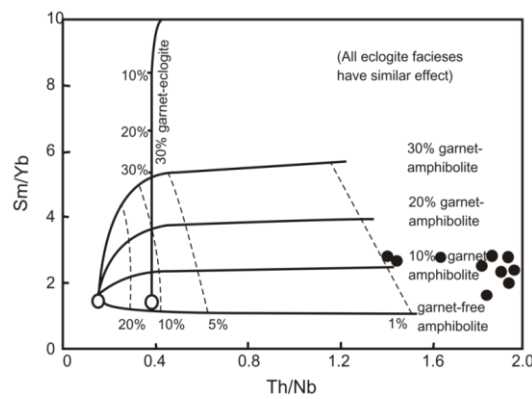


شکل ۱۳- موقعیت ترکیبی سنگ‌های آتشفسانی منطقه گارجگان (جنوب‌غرب بیرجند) در نمودار  $\text{Fe}_2\text{O}_3\text{-K}_2\text{O}\text{-MgO}$  (Karsli *et al.*, 2011) در برابر  $\text{Fe}_2\text{O}_3\text{-K}_2\text{O}\text{-MgO}$  (جنوب‌غرب بیرجند) در نمودار  $\text{Sm}/\text{Yb}$  در برابر  $\text{Th}/\text{Nb}$ .

در بردارنده گارنت به عنوان یک مرحله اصلی دیرگداز تفاله در محل منبع خود هستند و بنابراین، ترکیب سنگ‌شناسی محل منبع آن‌ها از نوع اکلوژیت، اکلوژیت آمفیبول‌دار یا گارنت - آمفیبولیت واقع در اعماق بیش از ۴۰ کیلومتری (فشار بیش از ۱۲ کیلوبار) است (Jamshidi *et al.*, 2014). چنان‌چه گارنت، مرحله کانی‌شناختی غالب در محل خاستگاه باشد، نسبت‌های  $\text{Y}/\text{Yb}$  مذاب‌های آدکیتی معمولاً بیشتر از ۱۰ خواهد شد (Wang *et al.*, 2012). میانگین این نسبت در نمونه‌های بررسی شده برابر با  $9/1$  است که می‌تواند نشانه حضور گارنت در خاستگاه باشد.



شکل ۱۲- موقعیت ترکیبی سنگ‌های آتشفسانی منطقه گارجگان (جنوب‌غرب بیرجند) در نمودار  $\text{Mg} \#$  در برابر  $\text{SiO}_2$  (Wang *et al.*, 2006).



شکل ۱۴- موقعیت ترکیبی سنگ‌های آتشفسانی منطقه گارجگان (جنوب‌غرب بیرجند) در نمودار  $\text{Sm}/\text{Yb}$  در برابر  $\text{Th}/\text{Nb}$  (Karsli *et al.*, 2011).

به طور کلی سنگ‌های آتشفسانی به  $\text{Mg} \#$  بالا ( $\text{Mg} \# > 45$ ) و  $\text{Mg} \#$  پایین ( $\text{Mg} \# < 45$ ) تقسیم می‌شوند (Lai *et al.*, 2013). میانگین  $\text{Mg} \#$  در سنگ‌های آتشفسانی منطقه گارجگان حدود ۲۶/۸۵ است. بر این اساس سنگ‌های آتشفسانی منطقه مورد مطالعه پایینی دارند. آدکیت‌های حاصل از ذوب‌بخشی پوسته زیرین قاره‌ای در مقایسه با سایر آدکیت‌ها، محتوای  $\text{Cr}, \text{Ni}, \text{MgO}, \text{Mg} \#, \text{Sm}/\text{Yb}$  و  $\text{Th}/\text{Nb}$  پایین‌تری دارند (Lai *et al.*, 2013). در نمودار سه‌تایی  $\text{Fe}_2\text{O}_3\text{-K}_2\text{O}\text{-MgO}$  (Karsli و همکاران ۲۰۱۱) اقتباس شده است و بر

اصلی و فرعی، نمونه‌های مورد مطالعه، مشخصات آدکیت‌های سیلیس بالا را نشان می‌دهند که از ذوب مستقیم پوستهٔ زیرین ضخیم شده حاصل شده‌اند. با توجه به پژوهش‌های محققان مختلف درباره بررسی سرگذشت حوضهٔ اقیانوسی در شرق ایران که مبنی بر رخداد برخورد لوت و افغان قبل از ائوسن است، ماقماتیسم پس از ائوسن منطقه گارجگان را می‌توان یک رخداد پس‌برخوردی دانست که از ذوب پوستهٔ زیرین ضخیم شده در فرایند لاپلاسیدگی (Delamination) از منبعی که در آن گارنت مرحله پایدار بوده است (ذوب‌بخشی منبعی با ترکیب ۱۰ درصد گارنت‌آمفیبولیت) به وجود آمده است.

### سپاس‌گزاری

نگارنده‌گان از معاونت آموزشی و تحصیلات تکمیلی دانشگاه بیرجند به علت حمایت‌های مادی و معنوی برای به‌ثمر رسیدن این پژوهش صمیمانه سپاس‌گزاری می‌کنند.

### نتیجه‌گیری

سنگ‌های آتشفسانی ترسیری منطقه گارجگان، داسیت، ریوداسیت و تراکی‌آندرزیت با ویژگی کالک‌آلکالن هستند. منطقه‌بندی، بافت غربالی و خورده‌گی خلیجی در فنوکربیست‌های پلاژیوکلاز و گردشده‌گی برخی از کانی‌ها از ویژگی‌های سنگ‌های گدازه‌ای این منطقه است که گویای وجود شرایط تعادل‌نشاشتن هنگام انجام‌داد ماقماست. بر اساس نمودارهای بهنجارشده عناصر کمیاب و خاکی نادر LREE و هم‌چنین، LILE نسبت به HFSE نسبت به (Nb/Ti) در نمونه‌های منطقه گارجگان مشاهده می‌شود که شاخص ماقماهای کالک‌آلکالن وابسته به مناطق فروراش در یک حاشیه فعال قاره‌ای است. بالابودن نسبت LREE/HREE و مقدار  $\text{Al}_2\text{O}_3/\text{SiO}_2$  و همراه با پایین‌بودن مقدار Yb و Y و نبودن آنومالی منفی Eu، ارتباط این مجموعه را به ماقماهای آدکیتی نشان می‌دهد. بر اساس خصوصیات ژئوشیمیایی عناصر

### منابع

- Best, M. G. (2003) Igneous and metamorphic petrology, Blackwell, Oxford.
- Boynton, W. V. (1984) Cosmochemistry of rare earth elements: meteorite studies. In: Rare earth element geochemistry (Ed. Henderson, P.) 63-114. Elsevier, Amsterdam.
- Castillo, P. R. (2006) An overview of adakite petrogenesis. Chinese Science Bulletin 51: 257-268.
- Castillo, P. R. (2012) Adakite petrogenesis. Lithos 134: 304-316.
- Chen, Y. and Zhang, Y. (2008) Olivine dissolution in basaltic melt. Geochimica et Cosmochimica Acta 72: 4756-4777.
- Chiaradia, M. (2009) Adakite magmas from fractional crystallization and melting assimilation of mafic lower crust (Eocene Macuchi arc, Western Cordillera, Ecuador). Chemical Geology 265: 468-487.
- Defant, M. J. and Drummond, M. S. (1990) Derivation of some modern arc magmas by melting of young subducted lithosphere. Nature 347: 662-665.
- Eyuboglu, Y., Santosh, M. and Chung, S. L. (2011) Crystal fractionation of adakitic magmas in the crust-mantle transition zone: Petrology, geochemistry and U-Pb zircon chronology of the Seme adakites, eastern Pontides, NE Turkey. Lithos 121: 151-166.
- Fan, W. M., Gue, F., Wang, Y. J. and Lin, G. (2003) Late Mesozoic calc-alkaline volcanism of post-orogenic

- extention in the northen Da Hinggan Mountains, northeastern China. *Journal of Volcanology and Geothermal Research* 121: 115-135.
- Fang, H. and Sheng, H. (2010) Partial melting of the dry mafic continental crust: Implications for petrogenesis of C-type adakites. *Chinese Science Bulletin* 55: 2428–2439.
- Ghadami, G. R., Shahre Babaki, A. M. and Mortazavi, M. (2008) Post-collisional Plio-Pleistocene adakitic volcanism in Central Iranian volcanic belt: Geochemical and geodynamic implications. *Journal of Sciences, Islamic Republic of Iran* 19(3): 223-235.
- Ghasemi, H., Sadeghian, M., Khanalizadeh, A. and Tanha, A. (2010) Petrography, geochemistry and radiometric ages of high-silica adakitic domes of Neogene continental arc, South of Quchan. *Iranian Journal of Crystallography and Mineralogy* 3: 347-370 (in Persian).
- Guo, Y., Hou, Z., Kamber, B. S., Wei, R., Meng, X. and Zhao, R. (2007) Adakite-like porphyries from the southern Tibetan continental collision zones: Evidence for slab melt metasomatism. *Contributions to Mineralogy and Petrology* 153: 105-120.
- Harangi, S., Downes, H., Thirlwall, M. and Gmeling, K. (2007) Geochemistry, petrogenesis and geodynamic relationships of Miocene calcalkaline volcanic rocks in the Western Carpathian arc, eastern Central Europe. *Journal of Petrology* 48 (12): 2261-2287.
- Helvacı, C., Ersoy, E. Y., Sözbilir, H., Erkül, F., Sümer, Ö. and Uzel, B. (2009) Geochemistry and  $^{40}\text{Ar}/^{39}\text{Ar}$  geochronology of Miocene volcanic rocks from the Karaburun Peninsula: implications for amphibole-bearing lithospheric mantle source, Western Anatolia. *Journal of Volcanology and Geothermal Research* 185: 181-202.
- Hoang, N., Itoh, J. and Miyagi, I. (2011) Subduction components in Pleistocene to recent Kurile arc magmas in NE Hokkaido, Japan. *Journal of Volcanology and Geothermal Research* 200: 255-266.
- Hou, K. J., Li, Y. H., Zhou, T. R., Shi, Y. R. and Xie, G. Q. (2007) Laser ablation-MC-ICP-MS technique for Hf isotope microanalysis of zircon and its geological applications. *Acta Petrologica Sinica* 23(10): 2595–2604.
- Irvine, T. N. and Baragar, W. R. A. (1971) A guide to the chemical classification of the common volcanic rocks. *Canadian Journal of Earth Sciences* 8: 523-548.
- Ivanova, R. (2005) Volcanology and petrology of acid volcanic rocks from the Paleogene Sheinovets caldera, Eastern Rhodopes. *Bulgarian Academy of Sciences, Geochemistry Mineralogy and Petrology* 42: 23-45.
- Jahangiri, A. (2007) Post-collisional Miocene adakitic volcanism in NW Iran: Geochemical and geodynamic implications. *Asian Earth Sciences* 30: 433-447.
- Jamshidi, K., Ghasemi, H. and Sadeghian, M. (2014) Petrology and geochemistry of the Sabzevar post-ophiolitic high silica adakitic rocks. *Petrology* 5(17): 51-68 (in Persian).
- Karimpour, M. H., Stern, C. R., Farmer, L., Saadat, S. and Malekezadeh, A. (2011) Review of age, Rb-Sr geochemistry and petrogenesis of Jurassic to Quaternary igneous rocks in Lut block, Eastern Iran. *Geopersia* 1(1): 19-36.
- Karsli, O., Dokuz, A., Uysal, I., Aydin, F., Kandemir, R. and Wijbrans, R. J. (2010) Generation of the Early Cenozoic adakitic volcanism by partial melting of mafic lower crust, Eastern Turkey: Implications for crustal thickening to delamination. *Lithos* 114: 109–120.
- Karsli, O., Ketenci, M., Uysal, I., Dokuz, A., Aydin, F., Chen, B., Kandemir, R. and Wijbrans, R. J. (2011) Adakite like granitoid porphyries in the Eastern Pontides, NE Turkey: Potential parental melts and geodynamic implications. *Lithos* 127: 354–372.

- Kuscu, G. G. and Floyd, P. A. (2001) Mineral compositional and textural evidence for magma mingling in the Saraykent volcano. *Lithos* 56: 207–230.
- Kuscu, G. G. and Geneli, F. (2010) Review of post-collisional volcanism in the central Anatolian volcanic province (Turkey), with special reference to the Tepekoval volcanic complex. *International Journal of Earth Sciences* 99: 593–621.
- Lai, S. C. and Qin, J. F. (2013) Adakitic rocks derived from the partial melting of subducted continental crust: Evidence from the Eocene volcanic rocks in the northern Qiangtang block. *Gondwana Research* 23: 812–824.
- Ling, M. X., Wang, F. Y., Ding, X., Hu, Y. H., Zhou, J. B., Zartman, R. E., Yang, X. Y. and Sun, W. D. (2009) Cretaceous ridge subduction along the Lower Yangtze River Belt, eastern China. *Economic Geology* 104: 303–321.
- Ling, M. X., Wang, F. Y., Ding, X., Zhou, J. B. and Sun, W. D. (2011) Different origins of adakites from the Dabie mountains and the lower Yangtze river belt in eastern China: Geochemical constraints. *International Geology Review* 53:727–740.
- Liu, S. A., Li, S. G., He, Y. S. and Huang, F. (2010) Geochemical contrasts between early Cretaceous ore-bearing and ore-barren high-Mg adakites in central-eastern China, Implications for petrogenesis and Cu-Au mineralization. *Geochimica Cosmochimica Acta* 74: 7160–7178.
- Martin, H. (1999) The adakitic magmas: modern analogues of Archaean granitoids. *Lithos* 46(3): 411–429.
- Martin, H., Smithies, R. H., Rapp, R., Moyen, J. F. and Champion, D. (2005) An overview of adakite, tonalite-trondhjemite-granodiorite (TTG) and sanukitoid: relationships and some implications for crustal evolution. *Lithos* 79:1-24.
- Middlemost, E. A. K. (1994) Naming materials in the magma/igneous rock system. *Earth Science Reviews* 37: 215–224.
- Mohamed, F. H., Moghazi, A. M. and Hassanen, M. A. (2000) Geochemistry, petrogenesis and tectonic setting of late Neoproterozoic Dokhan-type volcanic rocks in the Fatira area, eastern Egypt. *International Journal of Earth Sciences* 88: 764–777.
- Mohammadi, S. S., Zarrinkoub, M. H. and Keramati, F. (2011) The geochemistry and petrogenesis of Hossein abad Tertiary volcanic rocks (Southwest of Birjand, East of Iran). *Petrology* 2(6): 83–96 (in Persian).
- Monfaredi, B., Masoudi, F. and Tabbakh Shabani, A. A. (2009) Magmatic interaction as recorded in texture and composition of plagioclase phenocrysts from the Sirjan area, Urumieh-Dokhtar magmatic arc, Iran. *Journal of Sciences, Islamic Republic of Iran* 20(3): 243–251.
- Moyen, J. F. (2009) High Sr/Y and La/Yb ratios: The meaning of the adakitic signature. *Lithos* 112: 556–574.
- Pang, K. W., Chung, S. L., Zarrinkoub, M. H., Khatib, M. M., Mohammadi, S. S., Chu, C. H., Lee, H. Y. and Lo, C. H. (2013) Eocene-Oligocene post-collisional magmatism in the Lut-Sistan region, eastern Iran: Magma genesis and tectonic implications. *Lithos* 87-88: 231–245.
- Pearce, J. A. (1983) Role of the sub-continental lithosphere in magma genesis at active continental margins. In: *Continental basalts and mantle xenoliths* (Eds. Hawkesworth, C. J. and Norry, M. J.): 230–249. Shiva, Nantwich.
- Perugini, D. and Poli, G. (2012) The mixing of magmas in plutonic and volcanic environments. analogies and differences. *Lithos* 153: 261–277.

- Pinto-Linares, P. J., Levresse, G., Tritlla, J., Valencia, V. A., Torres-Aguilera, J. M., González, M. and Estrada, D. (2008) Transitional adakite-like to calc-alkaline magmas in a continental extensional setting at La Paz Au-Cu skarn deposits, Mesa Central, Mexico: metallogenetic implications. *Revista Mexicana de Ciencias Geológicas* 25(1):39-58.
- Renjith, M. L. (2014) Micro-textures in plagioclase from 1994-1995 eruption, Barren Island Volcano: Evidence of dynamic magma plumbing system in the Andaman subduction zone. *Geoscience Frontiers* 5: 113-126.
- Reubi, O., Nicholls, I. A. and Kamenetsky, V. S. (2002) Early mixing and mingling in the evolution of basaltic magmas: evidence from phenocryst assemblages, Slamet volcano, Java, Indonesia. *Journal of Volcanology and Geothermal Research* 119: 274-255.
- Richards, J. and Kerrich, R. (2007) Special paper: Adakite-like rocks: their diverse origins and questionable role in metallogenesis. *Economic Geology* 102: 1-40.
- Rollinson, H. (1993) Using geochemical data: evolution, presentation, interpretation. Longman Scientific and Technical, London.
- Rollinson, H. R. and Tarney, J. (2005) Adakites- the key to understanding LILE depletion in granulites. *Lithos* 79: 61-81.
- Stöcklin, J. (1968) Structural history and tectonics of Iran: a review. *American Association of Petroleum Geologist Bulletin* 52: 1229-1258.
- Sun, S. S. and McDonough, W. F. (1989) Chemical and isotopic systematics of oceanic basalts; implications for mantle composition and processes. In: *Magmatism in the ocean basins* (Eds. Saunders, A. D. and Norry, M. J.) Special Publications 42: 313-345. Geological Society, London.
- Topuz, G., Altherr, R., Schwarz, W. H., Siebel, W., Satır, M. and Dokuz, A. (2005) Post-collisional plutonism with adakite-like signatures: the Eocene Saraycık granodiorite (Eastern Pontides, Turkey). *Contributions to Mineralogy and Petrology* 150: 441-455.
- Topuz, G., Okay, A. I., Altherr, R., Schwarz, W. H., Siebel, W., Zack, T., Satır, M. and Şen, C. (2011) Post-collisional adakite-like magmatism in the Agvanis massif and implications for the evolution of the Eocene magmatism in the Eastern Pontides (NE Turkey). *Lithos* 125: 131-150.
- Ustunisik, G., Kilinc, A. and Nielsen, R. L. (2014) New insights into the processes controlling compositional zoning in plagioclase. *Lithos* 200-201: 80-93.
- Vahdati Daneshmand, F. and Kholghi, M. H. (1988) Geological Map of Iran, 1:100000 series, sheet 7755-Khusf. Geological Survey of Iran, Tehran (in Persian).
- Wang, Q., Xu, J. F., Jian, P., Bao, Z. W., Zhao, Z. H., Li, C. F., Xiong, X. L. and Ma, J. L. (2006) Petrogenesis of adakitic porphyries in an extensional tectonic setting, Dexing, south China: implications for the genesis of porphyry copper mineralization. *Journal of Petrology* 47: 119-144.
- Wang, Q., Xu, J. F., Zhao, Z. H., Bao, Z. W., Xu, W. and Xiong, X. L. (2004) Cretaceous high potassium intrusive rocks in the Yueshan-Hongzhen area of east China: Adakites in an extensional tectonic regime within a continent. *Geochemical Journal* 38: 417-434.
- Wang, X. L., Shu, X. J., Xu, X., Tang, M. and Gasching, R. (2012) Petrogenesis of early Cretaceous adakite-like porphyries and associated basaltic andesites in the eastern Jiangnan orogen, southern China. *Journal of Asian Earth Sciences* 61: 243-256.
- Whitney, D. L. and Evans, B. W. (2010) Abbreviations for names of rock-forming minerals. *American Mineralogist* 95: 185-187.

- Wilson, M. (2007) Igneous Petrogenesis, Springer Verlag, Netherlans.
- Xu, J. F., Shinjo, R., Defant, M. J., Wang, Q. and Rapp, R. P. (2002) Origin of Mesozoic adakitic intrusive rocks in the Ningzhen area of east China: partial melting of delaminated lower continental crust? *Geology* 30: 1111-1114.
- Zamani Babgohari, M. (2009) Evaluation of activity period of Giv fault-segments using study of co-seismic travertines. MSc thesis, University of Birjand, Birjand, Iran (in Persian).
- Zanetti, A., Mazzucchelli, M., Rivalenti, G. and Vannucci, R. (1999) The Finero phlogopite peridotite massif: an example of subduction-related metasomatism. *Contributions to Mineralogy and Petrology* 134: 107-122.
- Zarrinkoub, M. H., Chung, S-L., Chiu, H. Y., Mohammadi, S. S., Khatib, M. M. and Lin, I. J. (2010) Zircon U-Pb age and geochemical constraints from the northern Sistan Suture Zone on the Neotethyan magmatic and tectonic evolution in eastern Iran. *Tectonic Crossroads*, Ankara, Turkey.
- Zarrinkoub, M. H., Mohammadi, S. S. and Yousefi, F. (2011) Geochemistry and petrogenesis of Givshad volcanic and subvolcanic rocks (southwest of Birjand, east of Iran). *Petrology* 2(7): 39-50 (in Persian).
- Zhu, A. C., Zhao, Z. D., Pan, G. T., Lee, H. Y., Kang, Z. Q., Liao, Z. L., Wang, L. Q., Li, G. M., Dong, G. C. and Liu, B. (2009) Early Cretaceous subduction-related adakite-like rocks of the Gangdese belt, southern Tibet: products of slab melting and subsequent melt-peridotite interaction. *Journal of Asian Earth Sciences* 34: 298-309.



## Geochemistry and tectonic setting of Tertiary volcanic rocks from Garejgan area (southwest of Birjand)

**Ameneh Aboutalebi, Seyyed Saeid Mohammadi \*** and **Mohammad Hossein Zarrinkoub**

Department of Geology, Faculty of Sciences, University of Birjand, Birjand, Iran

### Abstract

The study area is located in 60 km to the southwest of Birjand, and northeastern margin of the Lut block. Tertiary volcanic domes of dacite, rhyodacite, trachyandesite along with tuff and breccia are cropped out in this area. The main textures of lavas are porphyritic with microcrystalline groundmass, poikilitic and subophitic. Common phenocrysts in dacite and rhyodacite include plagioclase, quartz, hornblende and biotite; and phenocrysts of trachyandesite are consisting of plagioclase, hornblende, pyroxene, biotite and sanidine. There are also some small bodies of Plio-Quaternary olivine basalt in this area that olivine, pyroxene and plagioclase are main phenocrysts. Common alterations in Tertiary volcanic rocks are silicic, argillic, carbonatization and opacitization. Magma series of these rocks are calcalkaline. The trace and REE patterns normalized to primary mantle and chondrite show these acidic and intermediate volcanic rocks are co-magmatic and their enrichment of LREE and LILE and depletion of HREE and HFSE (Nb and Ti), indicating that they are related to subduction zone and active continental margin. Geochemical characteristics such as high values of SiO<sub>2</sub> (62.61 wt%), Al<sub>2</sub>O<sub>3</sub> (16.29 wt%), Sr (806 ppm) associated with low Yb (1.7 ppm), Y (15.27 ppm) and no Eu anomaly show that these rocks have adakitic nature. This magmatism can be originated from a garnet amphibolite source that is related to a post collisional tectonic setting.

**Key words:** Dacitic domes, Adakite, Post collision, Garejgan, Lut

\* ssmohammadi@birjand.ac.ir

Copyright©2016, University of Isfahan. This is an Open Access article distributed under the terms of the Creative Commons Attribution License (<http://creativecommons.org/licenses/BY-NC-ND/4.0>), which permits others to download this work and share it with others as long as they credit it, but they cannot change it in any way or use it commercially.